

ژئوشیمی و پتروزنر سنگ‌های آتشفشنای عروسان کبودان (شمال شرق انارک)

جمشید احمدیان^{*}، نوشین بهادران^۱، قدرت ترابی^۲ و مامورو موراتا^۳

^۱ گروه زمین‌شناسی، دانشگاه پیام نور اصفهان، اصفهان، ایران

^۲ گروه زمین‌شناسی، دانشکده علوم، دانشگاه اصفهان، اصفهان، ایران

^۳ بخش علوم زمین، دانشگاه نارا تو، ژاپن

چکیده

مجموعه آتشفشنای عروسان (شمال شرق انارک) در زون ایران مرکزی (بلوک یزد) قرار دارد. این مجموعه متشکل از سنگ‌های آذرین اسیدی تا حدواسط - بازیک است و از نظر سنگ‌شناسی ترم‌هایی همچون داسیت، تراکی‌آندزیت، شوشوئیت و تراکی‌بازالت پتاسیک را شامل می‌شود. ویژگی‌های کانی‌شناسی نظیر ترکیب کلینوپیروکسن‌ها (سالیت- اوژیت)، بیوتیت‌های با عدد منیزیم بالا، میزان قابل ملاحظه K_2O و نسبت‌های بالای Ta/Yb ، Th/Yb ، Ce/Yb و Ta/Yb مبین سرشت شوشوئیتی گدازه‌های ناحیه مورد مطالعه است. فقدان آنومالی Eu نشان از بالا بودن فوگاسیته اکسیژن ماقمای سازنده است که خود از شاخص‌های ماقمای شوشوئیتی است. الگوی عنصر نادر خاکی و نمودارهای عنکبوتی حاکی از غنی‌شدگی LREE و نمی‌شدگی عناصر گروه HFS (نظیر Nb، Ta و Ti) که از مشخصه‌های ماقماتیسم زون فرونش است. بررسی‌های ژئوشیمیایی حاکی از آن است که علاوه بر تبلور بخشی، فرآیندهای آغشتگی بسته‌ای و اختلال ماقمایی نیز در تحول ماقمای سازنده سنگ‌های آتشفشنای ناحیه مؤثر بوده است. بر اساس مدل‌سازی انجام شده، سنگ منشأ آمفیبولیتی گارنت‌دار ($10\text{--}20\%$ گارنت) برآورد شده است.

واژه‌های کلیدی: سنگ‌های آتشفشنای، شوشوئیت، ژئوشیمی، عروسان کبودان

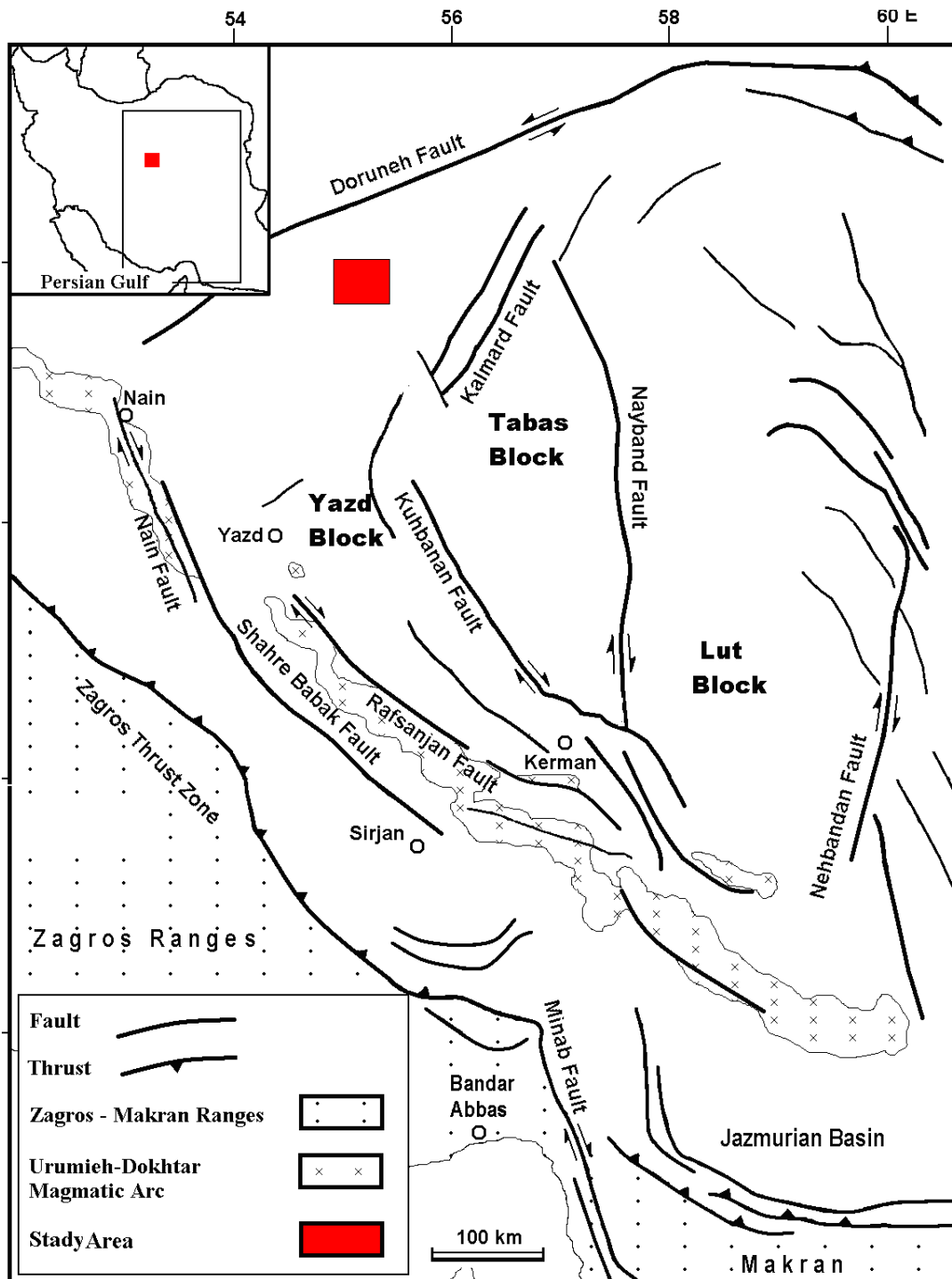
مقدمه

از زون ایران مرکزی - بلوک یزد (Alavi, 1991) و زیر زون انارک- خور (Yakovenko *et al.*, 1984) به شمار می‌رود (شکل‌های ۱ و ۲). فعالیت‌های آتشفشنای صورت گرفته در زمان اوسن زیرین - میانی در بخش غربی ایران مرکزی، سبب ایجاد سنگ‌های آتشفشنای و آذرآواری‌های وابسته در

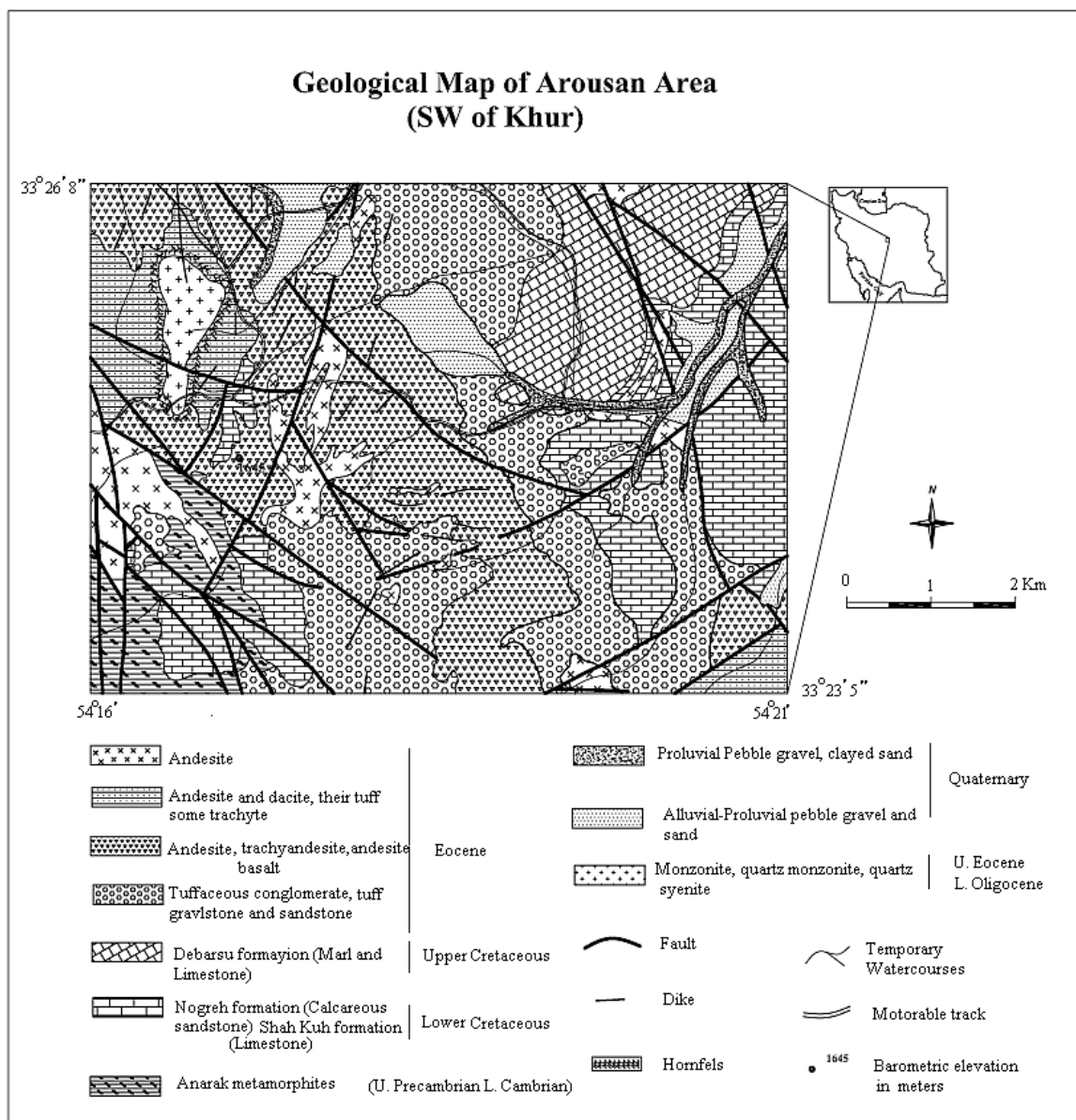
عروسان کبودان در ۷۵ کیلومتری شمال شرق انارک ۲۱۵ کیلومتری شمال شرق اصفهان) بین طول‌های جغرافیایی $۵۴^{\circ}۳۰'$ الی $۵۶^{\circ}۰۰'$ شرقی و عرض‌های جغرافیایی $۳۳^{\circ}۲۳'$ الی $۳۳^{\circ}۳۳'$ شمالی واقع شده است. این منطقه از دیدگاه ساختاری، بخشی

می‌گیرد. اهمیت فعالیت‌های ماقمایی اوسن ایران مرکزی از یک سو و فقدان اطلاعات رُؤشیمیایی از سنگ‌های منطقه خور از سوی دیگر، انگیزه اصلی انجام این پژوهش بوده است.

ناحیه عروسان گردیده است. از نظر سنگ‌شناسی، سنگ‌های آتشفسانی مذکور علاوه بر سنگ‌های اسیدی (داسیت)، انواع حدواسط (تراکی‌آندزیت، شوشونیت و تراکی‌بازالت پتاسیک) را نیز در بر



شکل ۱- موقعیت منطقه مورد مطالعه در نقشه ساختاری ایران.



شکل ۲- نقشه زمین‌شناسی ساده‌شده منطقه براساس نقشه ۱/۱۰۰۰۰۰ کبودان (Technoexport, 1984).

دستگاه ICP-MS و INAA انجام شده است. از این میان آنالیز ۷ نمونه به طور کامل در بخش علوم زمین دانشگاه کاردیف انگلیس و ۱۷ نمونه در دانشگاه ناراتو ژاپن (جهت عناصر اصلی) صورت گرفته است. ۱۷ نمونه آنالیز شده در ژاپن، جهت اندازه‌گیری عناصر فرعی و کمیاب در شرکت Act Lab کانادا با ICP-MS مدل Perkin-Elmer Elan 6000 آنالیز شده‌اند (نتایج این

روش انجام پژوهش

در بررسی‌های صحراوی تعداد ۱۵۰ نمونه برداشته شد که از بین آنها ۸۵ نمونه جهت تهیه مقطع نازک و نازک-صیقلی انتخاب شدند. جهت آنالیزهای ژئوشیمیایی ۲۴ نمونه با کمترین میزان دگرسانی انتخاب گردید که سنجش عناصر اصلی در آنها با روش XRF و سنجش عناصر فرعی و نادر خاکی توسط

مورد آنالیز قرار گرفت. آنالیزها در شرایط ولتاژ
شتاتدهنده ۱۵KV، شدت جریان ۱۵nA و زمان
شمارش ۴۰ ثانیه انجام شده است.

آنالیزها در جدول ۱ آورده شده است. برای بررسی‌های دقیق کائی‌شناسی ۷ نمونه از سنگ‌های آتشفشاری انتخاب شدند و با استفاده از دستگاه مایکروپرپ، Jeol مدل JXA-8800R در دانشگاه Naruto ژپن ۱۳۲ نقطه

جدول ۱- آنالیز شیمیایی از سنگ‌های واحدهای مختلف مجموعه آتشفشاری عروسان کبودان.

| Sample | 130 | 131 | 133 | 141 | 150a | 150b | 190 | 2 | 23 | 24 | 25 | 26 | 35 | 52 | 6 | 60 | 61 | 62 | 66 | 69 | 70 | 70a | 73 | 96 |
|----------------------------------|-------|-------|-------|-------|-------|-------|-------|-------|-------|-------|-------|-------|-------|-------|-------|-------|--------|-------|-------|--------|-------|-------|--------|-------|
| SiO ₂ | 57.78 | 52.34 | 61.14 | 53.26 | 64.25 | 64.23 | 52.72 | 57.00 | 53.26 | 61.33 | 64.34 | 63.69 | 63.55 | 60.13 | 60.62 | 56.08 | 51.77 | 57.43 | 54.77 | 60.37 | 64.27 | 64.44 | 64.56 | 54.82 |
| TiO ₂ | 0.72 | 1.08 | 0.56 | 1.05 | 0.39 | 0.34 | 0.93 | 0.61 | 0.91 | 0.54 | 0.42 | 0.49 | 0.54 | 0.50 | 0.41 | 0.69 | 0.81 | 0.63 | 0.92 | 0.60 | 0.36 | 0.41 | 0.39 | 0.64 |
| Al ₂ O ₃ | 16.89 | 15.52 | 17.20 | 15.51 | 15.53 | 16.18 | 14.67 | 12.86 | 15.24 | 15.58 | 15.10 | 14.62 | 15.05 | 18.76 | 14.79 | 15.57 | 15.22 | 15.61 | 15.18 | 15.25 | 15.36 | 15.43 | 15.43 | 18.90 |
| Fe ₂ O ₃ * | 5.68 | 9.06 | 4.60 | 8.67 | 3.09 | 2.99 | 5.09 | 7.94 | 4.87 | 3.60 | 3.93 | 4.89 | 4.20 | 3.56 | 6.33 | 7.73 | 5.81 | 7.41 | 5.10 | 3.22 | 3.54 | 3.29 | 6.03 | |
| MnO | 0.13 | 0.26 | 0.11 | 0.13 | 0.04 | 0.03 | 0.14 | 0.07 | 0.13 | 0.10 | 0.06 | 0.09 | 0.09 | 0.07 | 0.07 | 0.10 | 0.14 | 0.10 | 0.13 | 0.12 | 0.06 | 0.07 | 0.05 | 0.10 |
| MgO | 1.99 | 3.61 | 2.05 | 3.64 | 1.56 | 1.95 | 5.87 | 6.74 | 5.09 | 2.96 | 1.90 | 2.96 | 2.21 | 2.11 | 4.02 | 4.31 | 5.52 | 3.90 | 4.49 | 3.77 | 2.11 | 2.44 | 2.33 | 3.86 |
| CaO | 5.37 | 7.71 | 3.57 | 5.94 | 4.14 | 5.22 | 7.95 | 6.77 | 7.22 | 4.19 | 3.93 | 4.95 | 3.18 | 4.04 | 4.31 | 5.61 | 6.61 | 5.12 | 6.78 | 4.10 | 2.98 | 3.63 | 3.43 | 5.40 |
| Na ₂ O | 3.81 | 3.44 | 4.86 | 5.46 | 6.02 | 5.74 | 3.87 | 5.50 | 3.82 | 4.40 | 4.33 | 3.83 | 4.24 | 5.18 | 5.09 | 4.90 | 3.84 | 5.02 | 4.22 | 3.50 | 5.03 | 4.55 | 4.65 | 4.74 |
| K ₂ O | 4.52 | 3.52 | 3.70 | 3.13 | 1.97 | 2.27 | 3.79 | 1.56 | 4.70 | 4.56 | 3.22 | 2.93 | 4.16 | 4.64 | 4.56 | 4.60 | 4.59 | 4.61 | 4.49 | 3.86 | 3.67 | 2.88 | 3.07 | 4.38 |
| P ₂ O ₅ | 0.27 | 0.53 | 0.31 | 0.52 | 0.15 | 0.14 | 0.67 | 0.66 | 0.61 | 0.37 | 0.19 | 0.21 | 0.22 | 0.35 | 0.26 | 0.55 | 0.73 | 0.48 | 0.55 | 0.28 | 0.18 | 0.18 | 0.17 | 0.58 |
| LOI | 2.60 | 2.70 | 1.65 | 2.40 | 2.70 | 0.70 | 0.80 | 2.90 | 0.83 | 0.82 | 2.60 | 2.10 | 1.50 | 0.02 | 1.80 | 1.04 | 2.80 | 1.12 | 0.93 | 2.70 | 2.40 | 2.20 | 2.40 | 0.85 |
| Ba | 666 | 616 | 797.5 | 500 | 1010 | 913.8 | 649 | 146 | 627 | 610 | 985 | 823 | 924 | 652.1 | 625 | 610 | 586.8 | 634 | 640 | 1106.9 | 637.5 | 927 | 1070 | 668 |
| Rb | 136 | 80 | 130.7 | 64 | 29 | 40.5 | 55 | 45 | 79 | 117 | 89 | 57 | 118 | 125.1 | 158 | 101 | 136.5 | 96 | 110 | 138.8 | 144.5 | 70 | 64 | 102.3 |
| Sr | 1230 | 821 | 821 | 711 | 1140 | 2007 | 1640 | 772 | 1510 | 1230 | 1030 | 996 | 1000 | 1659 | 742 | 1630 | 1494.1 | 1530 | 1290 | 1789.9 | 611 | 825 | 1240 | 1634 |
| Tl | 2.47 | 1.53 | * | 0.23 | 0.82 | * | 0.14 | 0.61 | 0.51 | 0.91 | 1.62 | 0.49 | 2.05 | 3 | 1.08 | 0.48 | * | 0.59 | 0.88 | * | 1.06 | 0.97 | 6.3 | |
| Ta | 0.68 | 0.58 | 0.5 | 0.6 | 0.11 | 0.13 | 0.3 | 0.56 | 0.39 | 0.66 | 0.29 | 0.36 | 0.62 | 9.3 | 0.73 | 0.49 | 0.56 | 0.47 | 0.7 | 0.54 | 0.25 | 0.28 | 0.28 | 10.2 |
| Nb | 10.8 | 9.8 | 7.56 | 9.8 | 2.6 | 2.21 | 6.3 | 9.1 | 6.7 | 9.7 | 5.1 | 5.7 | 9.6 | 10.1 | 10.9 | 8.8 | 9.05 | 8.4 | 11.2 | 8.15 | 4.17 | 4.7 | 4.7 | 9.9 |
| Hf | 4.7 | 4.4 | 3.55 | 4.4 | 2.4 | 2.2 | 3.1 | 4 | 4.3 | 4.7 | 3 | 2.9 | 3.7 | 3.2 | 5.4 | 4.5 | 3.99 | 4.2 | 5 | 3.1 | 2.81 | 2.8 | 3 | 6 |
| Zr | 179 | 169 | 157.6 | 164 | 79 | 84.9 | 114 | 142 | 149 | 178 | 104 | 101 | 146 | 182.3 | 196 | 172 | 186.4 | 160 | 186 | 145.5 | 118.6 | 99 | 104 | 179.6 |
| Y | 22.8 | 26.3 | 14.7 | 24.5 | 5.4 | 5.7 | 20.4 | 16.1 | 19.2 | 16 | 10.5 | 11.2 | 16.4 | * | 16 | 17.3 | 20.2 | 15.9 | 19.3 | 14.4 | 9.2 | 8.9 | 9.4 | * |
| Th | 9.1 | 8.12 | 8.18 | 7.95 | 1.04 | 0.88 | 5.41 | 8.71 | 6.8 | 11.6 | 3.99 | 4.82 | 7.55 | * | 15.3 | 9.21 | 9.9 | 8.5 | 12.5 | 6.67 | 3.82 | 3.95 | 3.86 | * |
| U | 2.56 | 2.18 | 2.35 | 2.2 | 0.7 | 0.6 | 1.47 | 3.47 | 2.17 | 3.66 | 1.58 | 2.2 | 1.81 | 2.4 | 5.88 | 3.2 | 3.22 | 2.86 | 3.53 | 2.09 | 1.21 | 1.52 | 1.78 | 2.2 |
| Cr | 19 | 11 | 151 | 14 | 29 | 54 | 98 | 335 | 46 | 82 | 54 | 77 | 48 | 161.2 | 233 | 99 | 117 | 102 | 62 | 96.8 | 84.1 | 56 | 44 | 90 |
| Ni | * | * | 800.3 | * | * | 21.9 | 65 | 122 | 27 | 36 | * | 35 | 36 | 77.8 | 88 | 61 | 207.7 | 56 | 42 | 45.9 | 69.7 | 29 | 25 | 51.5 |
| V | 89 | 171 | 83.4 | 123 | 42 | 50.2 | 201 | 107 | 159 | 93 | 53 | 66 | 55 | 148.5 | 71 | 131 | 199.2 | 123 | 168 | 89.9 | 65.4 | 53 | 52 | 127.4 |
| Cu | 31 | 77 | 48.4 | 47 | 34 | 30.3 | 115 | 21 | 81 | * | 19 | 30 | 23 | 137.8 | 52 | 157 | 173.1 | 87 | 124 | 50.5 | 30.8 | 18 | 14 | 132.3 |
| Pb | 33 | 22 | * | 19 | 41 | * | 33 | 7 | 36 | 10 | 42 | 56 | 24 | 32.4 | 13 | 45 | * | 31 | 34 | * | 33 | 42 | 30.3 | |
| Zn | 86 | 87 | 85 | 68 | 74 | 46.6 | 92 | 42 | 76 | 38 | 63 | 44 | 51 | 81.3 | 54 | 73 | 95.8 | 62 | 91 | 94.5 | 68.2 | 55 | 42 | 76.1 |
| La | 33.2 | 31.7 | 29.4 | 30.7 | 7.28 | 5.62 | 35.2 | 20.4 | 30.6 | 29.6 | 14.1 | 18.1 | 26.4 | 32.6 | 37 | 33.9 | 31.45 | 29.7 | 34.7 | 22.04 | 14.16 | 14.1 | 13.8 | 31.4 |
| Ce | 65.3 | 65.3 | 60.32 | 63.4 | 15.6 | 13.07 | 70.5 | 44.4 | 63.4 | 57.2 | 28.6 | 34.4 | 55.7 | 71.4 | 73.2 | 65.9 | 67.91 | 60.2 | 68.7 | 45.56 | 29.82 | 27.4 | 27.3 | 64.3 |
| Pr | 7.55 | 7.79 | 6.78 | 7.54 | 1.96 | 1.76 | 8.4 | 5.08 | 7.88 | 6.44 | 3.39 | 3.87 | 5.49 | 4.6 | 8.25 | 7.7 | 8.24 | 6.88 | 7.97 | 5.15 | 3.5 | 3.23 | 3.26 | 8.6 |
| Nd | 29.8 | 33.5 | 24.75 | 31.9 | 8.34 | 7.54 | 34.1 | 19.6 | 33.3 | 24.3 | 13.9 | 15.7 | 20.7 | 15.4 | 31 | 29.8 | 32.44 | 26.6 | 30.9 | 19.1 | 13.5 | 13.1 | 13.1 | 26.5 |
| Sm | 5.8 | 6.75 | 4.49 | 6.51 | 1.71 | 1.61 | 7.27 | 4.25 | 6.75 | 4.84 | 2.67 | 3.08 | 4.14 | * | 5.95 | 6.16 | 6.68 | 5.54 | 6.47 | 3.76 | 2.64 | 2.54 | 2.51 | * |
| Eu | 1.64 | 1.94 | 1.17 | 1.79 | 0.481 | 0.51 | 2.11 | 1.25 | 1.91 | 1.3 | 0.81 | 0.907 | 1.17 | * | 1.5 | 1.75 | 1.74 | 1.56 | 1.81 | 1.06 | 0.74 | 0.733 | 0.735 | * |
| Gd | 4.84 | 5.78 | 3.38 | 5.58 | 1.36 | 1.28 | 5.73 | 3.51 | 5.63 | 3.8 | 2.31 | 2.56 | 3.42 | * | 4.41 | 4.66 | 5.32 | 4.23 | 5.18 | 3.12 | 2.07 | 2.01 | 2.18 | * |
| Tb | 0.76 | 0.89 | 0.44 | 0.68 | 0.2 | 0.17 | 0.8 | 0.57 | 0.8 | 0.56 | 0.35 | 0.38 | 0.55 | * | 0.61 | 0.65 | 0.69 | 0.61 | 0.75 | 0.43 | 0.28 | 0.32 | 0.32 | * |
| Dy | 3.88 | 4.69 | 2.41 | 4.4 | 0.99 | 0.94 | 3.8 | 2.93 | 3.81 | 2.81 | 1.82 | 1.95 | 2.92 | * | 2.81 | 3.17 | 3.54 | 2.92 | 3.69 | 2.37 | 1.51 | 1.53 | 1.61 | * |
| Ho | 0.75 | 0.87 | 0.43 | 0.83 | 0.18 | 0.16 | 0.69 | 0.56 | 0.69 | 0.54 | 0.35 | 0.37 | 0.56 | * | 0.5 | 0.57 | 0.61 | 0.54 | 0.68 | 0.43 | 0.28 | 0.3 | 0.31 | * |
| Er | 2.29 | 2.57 | 1.36 | 2.48 | 0.5 | 0.49 | 1.91 | 1.62 | 1.99 | 1.55 | 1.05 | 1.12 | 1.64 | * | 1.51 | 1.64 | 1.78 | 1.49 | 1.91 | 1.35 | 0.85 | 0.89 | 0.9 | * |
| Tm | 0.351 | 0.38 | 0.21 | 0.366 | 0.071 | 0.08 | 0.266 | 0.239 | 0.293 | 0.24 | 0.157 | 0.169 | 0.24 | * | 0.224 | 0.237 | 0.27 | 0.207 | 0.279 | 0.21 | 0.13 | 0.138 | 0.138 | * |
| Yb | 2.21 | 2.32 | 1.38 | 2.39 | 0.46 | 0.48 | 1.71 | 1.51 | 1.79 | 1.59 | 0.99 | 1.13 | 1.53 | * | 1.47 | 1.49 | 1.68 | 1.39 | 1.78 | 1.35 | 0.86 | 0.9 | 0.9 | * |
| Lu | 0.329 | 0.35 | 0.22 | 0.333 | 0.072 | 0.07 | 0.243 | 0.212 | 0.261 | 0.233 | 0.149 | 0.168 | 0.228 | * | 0.218 | 0.219 | 0.26 | 0.209 | 0.264 | 0.22 | 0.14 | 0.135 | 0.136 | * |
| Sr/Y | 53.95 | 31.22 | 55.85 | 29.02 | 211.1 | 352.1 | 80.39 | 47.95 | 78.65 | 76.88 | 98.1 | 88.93 | 60.98 | * | 46.38 | 94.22 | 73.97 | 96.23 | 66.84 | 124.3 | 66.41 | 92.7 | 131.91 | * |

منطقه را می‌توان به دو دسته اسیدی و حدواتسط تقسیم کرد.

سنگ‌های اسیدی

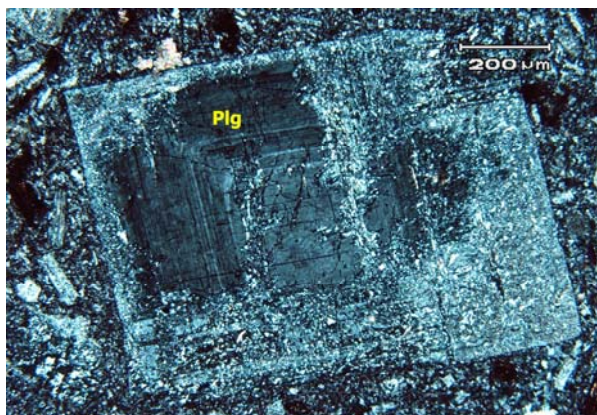
این سنگ‌ها در برگیرنده داسیت‌ها هستند که با بافت پرپری در زمینه‌ای از شیشه و میکرولیت دیده می‌شوند. مهم‌ترین فنوکریست‌های آنها شامل

سنگ‌شناسی

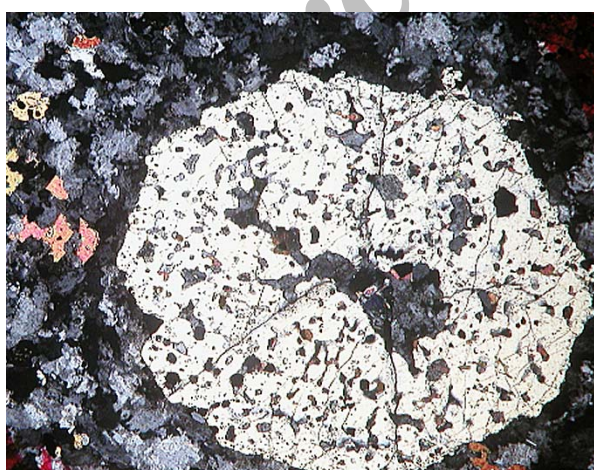
رده‌بندی سنگ‌های آتشفشاری با استفاده از طبقه‌بندی شیمیایی (Le Maitre *et al.*, IUGS 1989) انجام گردیده است که بر اساس آن واحدهای سنگی در محدوده‌های داسیت، تراکی آندزیت، شوشونیت و تراکی‌بازالت پ TASIK قرار می‌گیرند (بهادران، ۱۳۸۶). بر این مبنای سنگ‌های

شیمی کانی‌ها پیروکسن

پیروکسن به غیر از داسیت‌ها، در سایر واحدهای سنگی منطقه مشاهده می‌شود. کلیه پیروکسن‌ها از نوع کلینوپیروکسن بوده و ترکیب آنها در قلمرو پیروکسن‌های آهن-منیزیم-کلسیم قرار دارد (Morimoto *et al.*, 1988). ترکیب شیمیایی آنها با توجه به مطالعات الکترون مایکروپروروب (بهادران، ۱۳۶۸) در تراکی آندزیت‌ها و پتاسیم تراکی بازالت‌ها در حد سالیت و در شوشونیت‌ها از نوع دیوپسید - اوژیت است.



شکل ۳- پلاژیوکلاز با زونینگ نوسانی در یک داسیت که متحمل دگرسانی سرسیستی شده است.



شکل ۴- نمایی از یک بلور کلینوپیروکسن دارای بافت اسفنجی.

پلاژیوکلاز، آمفیبول، بیوتیت و کوارتز است. پلاژیوکلازها بر مبنای مطالعات الکترون مایکروپروروب دارای زونینگ عادی و گاه نوسانی هستند (شکل ۳). زونینگ نوسانی به اعتقاد بسیاری محققان محصول فرآیند اختلاط ماقمایی است (Haalsor, 1989; Perugini *et al.*, 2005). در حاشیه بعضی از بلورهای این کانی آثار خوردگی دیده می‌شود که می‌توان آنرا به تغییرات فشار و یا عدم تعادل شیمیایی فنوکریست‌ها با ماقمای سازنده در هنگام خروج گدازه نسبت داد (شلی، ۱۹۹۳). آمفیبول و بیوتیت در نمونه‌های مورد مطالعه اوپاسیتی شده‌اند و بلورهای کوارتز دارای خردگی خلیجی هستند.

سنگ‌های حدواسط- بازیک

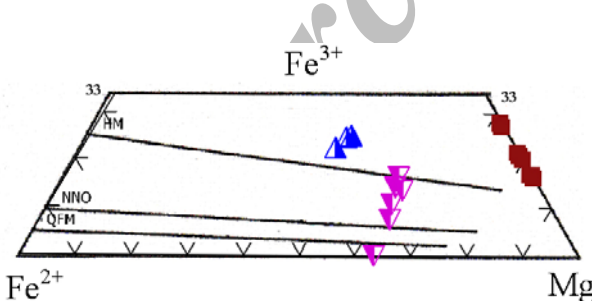
این گروه شامل تراکی آندزیت، شوشونیت و تراکی بازالت پتاسیک هستند. بافت رایج در آنها میکرولیتی پرفیری، میکروگرانولار، گلومروپرفیری و ویتروپرفیری است. مهم‌ترین فنوکریست آنها کلینوپیروکسن‌های اسفنجی است. بافت اسفنجی در درشت‌بلورهای پیروکسن به‌واسطه انکلوزیون‌های فراوان آلکالی‌فلدسپار ایجاد شده است (شکل ۴).

مطالعات SEM و مایکروپروروب حاکی از وجود زونینگ عادی و گاه ناقص (Patchily Zonation) در آنها است. زونینگ ناقص در بلورهای کلینوپیروکسن در صورت همراه بودن با سایر شواهد بافت‌های غیرتعادلی به عنوان نشانه‌ای از اختلاط ماقمایی در نظر گرفته می‌شود (Sakuyama, 1978; Pe-Piper, 1983). سایر کانی‌های مافیک شامل آمفیبول و بیوتیت با حاشیه سوخته است. فنوکریست‌های پلاژیوکلاز با زونینگ عادی (با ابعادی از ۱/۱۵ میلیمتر) و سانیدین به عنوان کانی‌های فلزیک در متن سنگ حضور دارند.

فلوگوپیت‌ها با میزان تیتان پایین‌تر ($3-7/1$ درصد) و عدد منیزیم بالاتر ($86-73$) در پتاسیم تراکی بازالت‌های دیده شده‌اند.

اندیس اشباع‌شدگی آلومینیم ASI (نسبت مولکولی $\text{Al}_2\text{O}_3/\text{CaO}+\text{Na}_2\text{O}+\text{K}_2\text{O}$) بیوتیت‌های ناحیه در تراکی آندزیت‌ها و پتاسیم تراکی بازالت‌ها پایین است ($1/1-1/3$) که این امر انعکاسی از اکتیویته پایین آلومینیم در مagma تلقی می‌گردد (Helmy *et al.*, 2004). در حالی که درجه اشباع‌شدگی آلومینیم در داسیت‌ها بالا است ($1/9-2/1$) که می‌تواند از محتوای پایین K_2O داسیت‌ها ناشی شود.

با توجه به توانایی بیوتیت‌ها در تخمین میزان فوگاسیته اکسیژن مagma از نمودار Wones و Eugster (۱۹۶۵) استفاده شده است. نمونه‌های پتاسیم تراکی بازالت و تراکی آندزیت بالاتر از بافر هماتیت-مگنتیت (HM) قرار گرفته‌اند (شکل ۵). این امر بیانگر فوگاسیته بالای ناشی از اکسایش هنگام فوران است و سبب شده بخش اعظم Fe^{3+} به Fe^{2+} تبدیل شود (در مورد تراکی بازالت پتاسیک فوگاسیته بسیار بالا بوده و تقریباً تمامی Fe^{3+} به Fe^{2+} تبدیل شده است).



شکل ۵- تخمین فوگاسیته اکسیژن با استفاده از نمودار Wones و Eugster (۱۹۶۵) که حاکی از بالا بودن فوگاسیته اکسیژن مagma‌ی سازنده ناحیه است. علائم مربع، مثلث رو به بالا و مثلث رو به پایین، به ترتیب پتاسیم تراکی بازالت، تراکی آندزیت و داسیت می‌باشند.

فلدسبار

فراوان‌ترین کانی موجود در سنگ‌های منطقه است که شامل پلازیوکلاز و فلدسبار پتاسیم‌دار می‌شود. ترکیب پلازیوکلازها در محدوده نسبتاً گسترده‌ای از آلبیت تا آندزین در نوسان است. پلازیوکلاز موجود در داسیت‌ها، در محدوده الیکوکلاز ($\text{An}:18-19$) و در برخی موارد تا آندزین است.

در تراکی آندزیت‌ها، حاشیه بلور با ترکیب ($\text{An}:29$) مشخص می‌شود و در مرکز بلور به $\text{An}:32$ می‌رسد. در شوشونیت‌ها فلدسبارها ترکیب آلکالی داشته واز آلبیت با خلوص بالا ($\text{An}: 1-3\%$) و یا سانیدین- 65 ($\text{Or}: 65\%$) تشکیل شده است.

آمفیبول

این کانی در کلیه واحدهای سنگی ناحیه، به استثنای شوشونیت‌ها، حضور دارد. ترکیب عمومی آمفیبول‌ها از نوع کلسیک است (Leake *et al.*, 1997) با توجه به بررسی‌های الکترون مایکروپرورب ترکیب این کانی در داسیت‌ها و تراکی آندزیت‌ها از نوع هورنبلند هاستینگزیتی منیزیم‌دار است و در تراکی بازالت پتاسیک این ترکیب به سمت هاستینگزیت منیزیم‌دار تغییر می‌یابد.

میکا

ترکیب میکاهای موجود در سنگ‌های ناحیه با درنظر گرفتن داده‌های الکترون مایکروپرورب، در دو گروه بیوتیت‌های غنی از تیتان و فلوگوپیت قرار می‌گیرد. بیوتیت‌های غنی از تیتان (درصد $5-5/3$) که عدد منیزیم ($\text{Mg}/(\text{Mg}+\text{Fe})$) آنها $45-63/100$ است و عمدها در داسیت‌ها و تراکی آندزیت‌ها مشاهده شده‌اند.

تبلور بخشی در سنگ‌های ماقمایی را نتیجه گرفت
(Tankut *et al.*, 1998)

از سوی دیگر با توجه به حساسیت عناصر Rb و Zr نسبت به فرایند آغشتگی پوسته‌ای (De Paolo, 1981) از نمودار تغییرات Zr/Rb در مقابل Rb استفاده شده است (شکل ۹).

رونده نزولی نمودار مذکور بیانگر مشارکت فرآیند آغشتگی پوسته‌ای در شکل گیری سنگ‌های آتشفشانی ناحیه عروسان است. در نمودارهای عنکبوتی که بر اساس داده‌های (Sun and McDonough, 1989) نسبت به گوشه‌های اولیه بهنجار شده‌اند (شکل ۱۰) تهی شدگی مشخصی از عناصر Nb, Ti و Ta و در سنگ‌های با $\text{SiO}_2 > 60$ تهی شدگی Th دیده می‌شود. از سوی دیگر سنگ‌های ناحیه غنی شدگی از عناصر LiL و K نظیر Sr نشان می‌دهند. همچنین در کلیه نمونه‌ها غنی شدگی مشخصی از Pb دیده می‌شود که آن را به آلایش پوسته‌ای نسبت داده‌اند.

تهی شدگی از عناصر HFSE و غنی شدگی از عناصر LILE از مشخصه‌های ماقماییسم مربوط به زون‌های فرورانش است و از ویژگی‌های ماقماهای شوشونیتی (Foley and Wheller, 1990; Saunders *et al.*, 1980)

تهی شدگی TNT (Nb و Ta) به جدایش کانی‌های تیتان‌دار (نظیر اسفن، ایلمنیت) مرتبط است. از سوی دیگر برخی از محققان نظیر Edwards و همکاران (۱۹۹۴) تهی شدگی مذکور را به بالا بودن فوگاسیته اکسیژن ماقماهای زون فرورانش مرتبط دانسته‌اند، زیرا در شرایطی که فوگاسیته اکسیژن بالا باشد، دمای بیشتری برای ذوب کانی‌های تیتانیم‌دار نیاز است.

بررسی ژئوشیمی و فرآیندهای مؤثر در تحول ماقمایی

ترکیب شیمیایی سنگ‌های آتشفشانی محدوده مورد بررسی در محدوده‌ای از سیلیس بین ۵۶/۸۲-۶۴/۵۶ در نوسان بوده و میانگین سیلیس موجود در این سنگ‌ها ۵۶/۸۲ است. مجموع عناصر آلکالن ($\text{Na}_2\text{O} + \text{K}_2\text{O}$) آنها بین ۶/۷۶-۸/۹۶ است و میانگین TiO_2 در سنگ‌های منطقه $0^{\circ}/34^{\circ}$ است، که حاکی از پایین بودن میزان تیتانیم آنهاست. میزان Al_2O_3 در این سنگ‌ها $14/16$ -۱۸/۹ است.

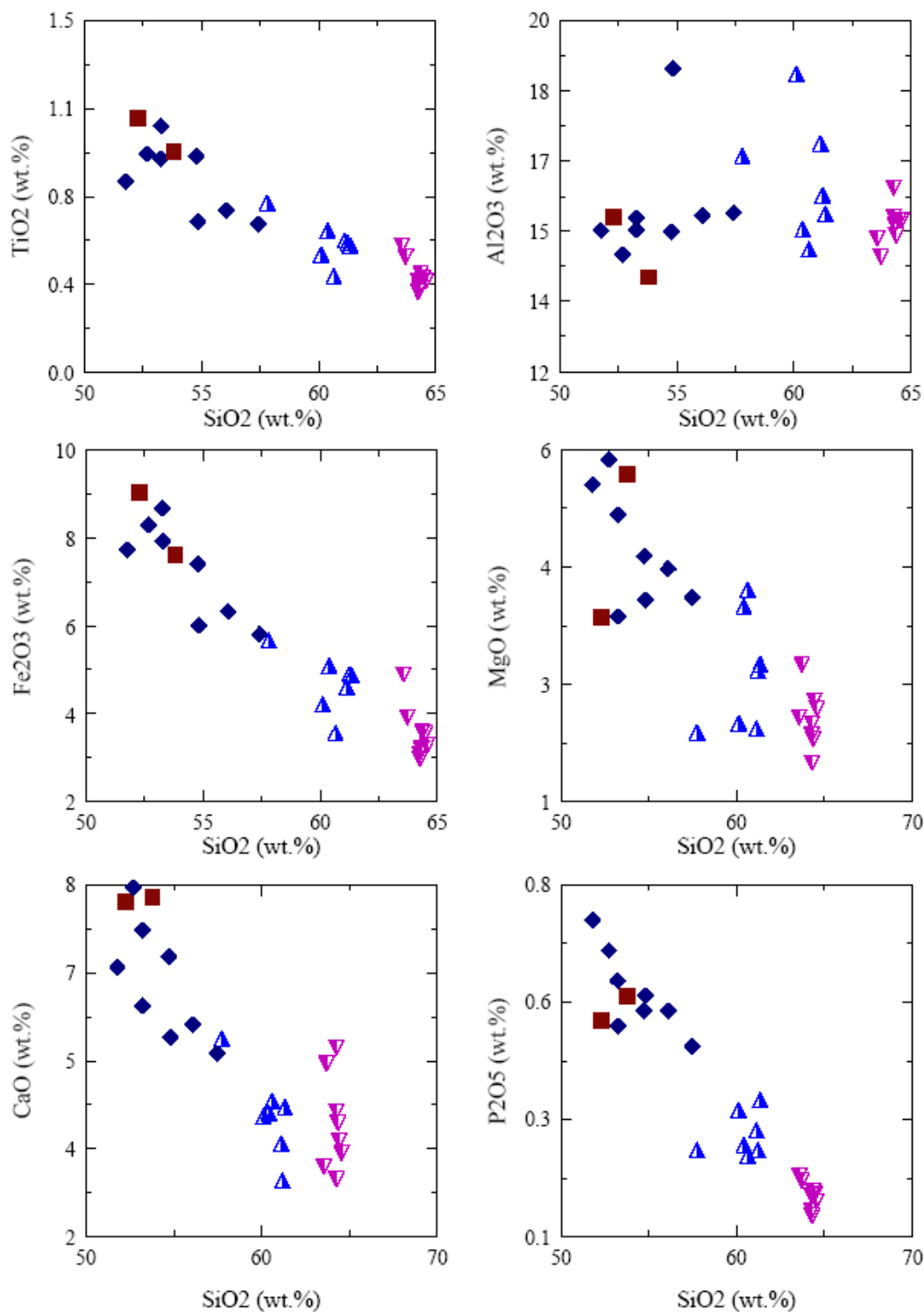
با توجه به روند خطی که در نمودار هارکر عناصر اصلی دیده می‌شود (شکل ۶) می‌توان نتیجه گیری نمود که فرآیند تبلور بخشی در تکوین سنگ‌های ماقمایی منطقه نقش مهمی داشته است.

رونده نزولی MgO , Fe_2O_3 و TiO_2 به ترتیب به تبلور بخشی کلینوپیروکسن و اکسیدهای آهن و تیتان (ایلمنیت، اسفن) نسبت داده می‌شود. همچنین روند نزولی CaO و P_2O_5 نیز بیانگر تبلور پلاژیوکلاز و آپاتیت است. تغییرات مشاهده شده در میزان Al_2O_3 عموماً به جدایش پلاژیوکلاز نسبت داده می‌شود. رفتار هماهنگ Cr و Ni (شکل ۷-الف) حاکی از مشارکت عناصر مذکور در ساختار کلینوپیروکسن است (Wilson, 1989)، همچنین همبستگی مثبت دو عنصر Zr و Y (شکل ۷-ب) نشانه تبلور بخشی کلینوپیروکسن و پلاژیوکلاز در سنگ‌های آتشفشانی ناحیه است (Atherton *et al.*, 1985).

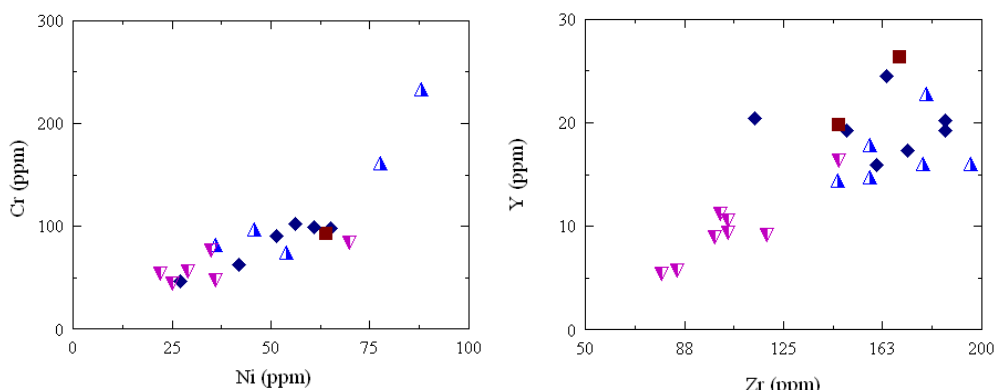
به منظور تعیین نقش فرایندهای AFC در تحول سنگ‌های ماقمایی منطقه از نمودار تغییرات Zr/Nb در مقابل سیلیس استفاده نموده‌ایم (شکل ۸). با توجه به دامنه محدود تغییرات Zr/Nb می‌توان اهمیت فرایندهای

میزان Nb و Ta است و لذا شکل‌گیری آنومالی منفی مذکور توسط آمفیبول کنترل می‌گردد.

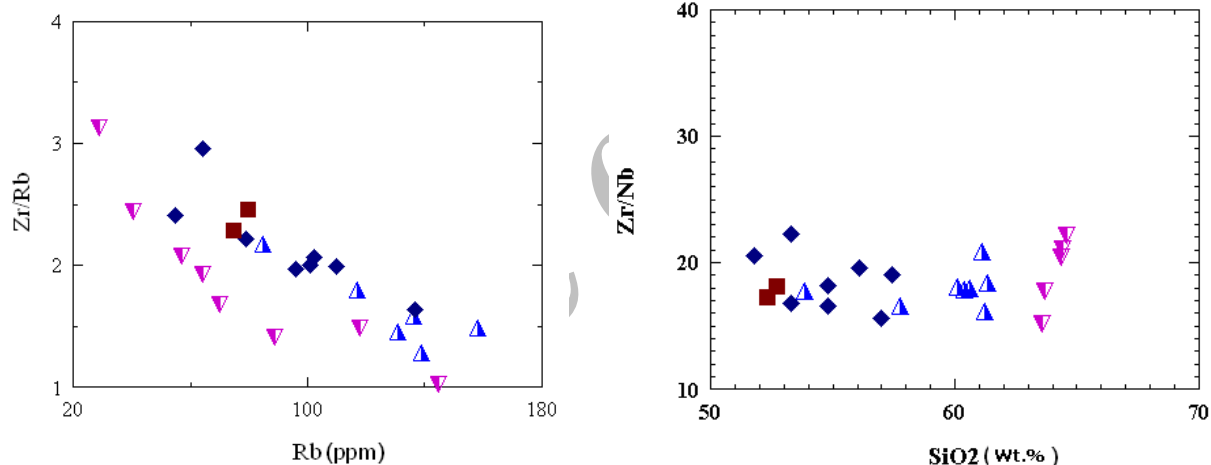
همچنین به عقیده Hofman و Ionov (۱۹۹۵) آمفیبول یکی از کانی‌های مهمی است که در گوشته،



شکل ۶- نمایش نمودارهای هارکر اکسیدهای عناصر اصلی در برابر سیلیس برای سنگ‌های ناحیه مورد مطالعه، علائم □، ◆، ▲ و ▼ به ترتیب پتاسیم تراکی بازالت، تراکی آندزیت، شوشونیت و داسیت است.



شکل ۷- (الف) دیاگرام Cr در مقابل Ni. همبستگی مثبت عناصر مذکور نشانه شرکت آن‌ها در ساختار کلینوپیروکسن است (Wilson, 1989)، (Atherton *et al.*, 1985). عالائم مشابه شکل ۶ است.
ب) روند مثبت تغییرات Y در برابر Zr میان تبلور همزمان کلینوپیروکسن و پلازیوکلاز در سنگ‌های آتشفشانی ناحیه دارد (Wilson, 1989).

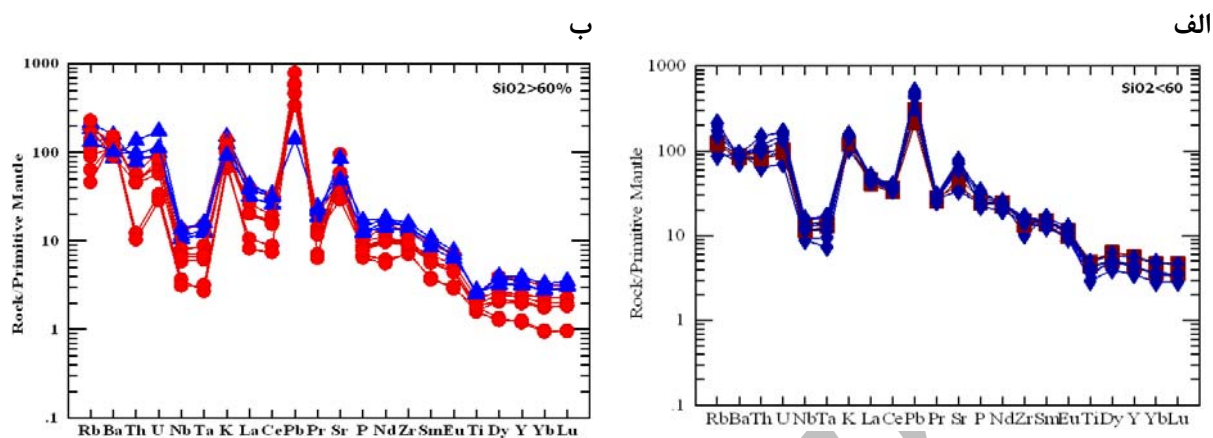


شکل ۹- نسبت Zr/Rb در مقابل Rb بر اساس (De Paolo, 1981). روند نزولی حاکی از تاثیر آغشته‌ای در تکوین سنگ‌های آتشفشانی ناحیه است.

این نمودار (شکل ۱۱) سنگ‌های بازیک در محدوده شوشنیت‌ها و غالب سنگ‌های اسیدی در محدوده کالک‌آلکالن پتانسیم بالا واقع شده‌اند. علاوه بر این در نمودارهای Ce/Yb در برابر Ta/Yb (Pearce, 1982) و Th/Yb در مقابل Ta/Yb (Muller *et al.*, 1992) غالب نمونه‌ها در محدوده شوشنیت قرار گرفته‌اند. برخی از نمونه‌های داسیتی در نمودار اخیر در قلمرو کالک‌آلکالن قرار گرفته‌اند (شکل ۱۲).

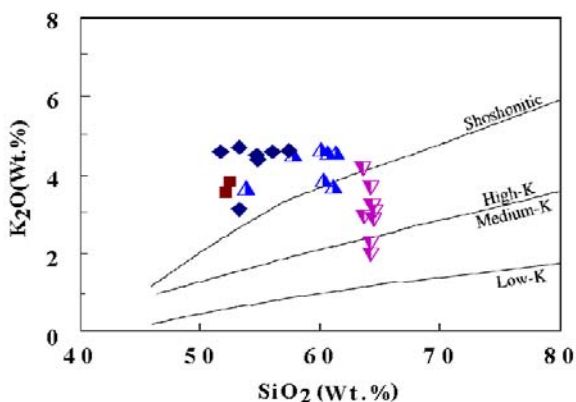
شکل ۸- نمودار تغییرات Zr/Nb در برابر SiO₂ که حاکی از نقش موثر فرH پند تبلور بخشی در تحول سنگ‌های ماجمایی منطقه است (Tankut *et al.*, 1998).

شواهد بافتی نظیر زونینگ نوسانی در پلازیوکلازها، خردگی شیمیایی در حاشیه بلورهای نظیر پلازیوکلاز و کوارتز همچنین وجود زونینگ ناقص در کلینوپیروکسن‌ها می‌تواند مربوط به نقش اختلاط ماجمایی در تکوین ماجمایی تشکیل دهنده سنگ‌های منطقه عروسان باشد. برای تعیین سرشت ماجمایی سنگ‌های ناحیه از نمودار O₂ در مقابل K₂O استفاده شده است. در (Peccerillo and Taylor, 1976)



شکل ۱۰- نمودارهای عنکبوتی بهنجار شده نسبت به گوشته اولیه بر اساس داده‌های (Sun and McDonough, 1989). (الف) سنگ‌های با کمتر از ۶۰ درصد، (ب) سنگ‌های با بیش از ۶۰ درصد.

الگوی عناصر نادر خاکی که بر اساس داده‌های Nakamura (۱۹۷۴) نسبت به کندریت‌ها عادی‌سازی شده‌اند، غنی‌شدگی مشخصی از LREE نسبت به HREE را به نمایش می‌گذارند (شکل ۱۴) که این نکته مبین نرخ پایین ذوب‌بخشی و در عین حال، حضور گارنت در پس‌مانده ذوب است.



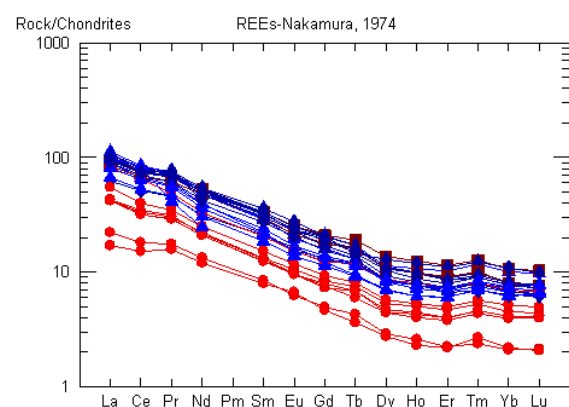
شکل ۱۱- نمودار K_2O - SiO_2 . سنگ‌های بازیک در محدوده شوشوونیت‌ها و غالب داسیت‌ها در محدوده کالک‌آلکالن پتانسیم بالا قرار گرفته‌اند (Peccerillo and Taylor, 1976).

از سوی دیگر ترکیب کانی شناسی سنگ‌های مورد مطالعه نظری بالا بودن عدد منیزیم بیوپیت (با میانگین حدود ۶۳) (طبق نظر Jiang et al., 2002) و ترکیب کلینوپیروکسن‌ها که در محدوده سالیت اوژیت قرار دارد (بر اساس نظر Morrison, 1980) نیز موید ماهیت شوشوونیت این سنگ‌ها است. در عین حال بالا بودن فوگاسیته اکسیژن ماقمای سازنده سنگ‌های مذکور از مشخصات ماقماتیسم شوشوونیتی است (Fowler, 1988).

همچنین نمودارهای عنکبوتی که بر اساس داده‌های Pearce (۱۹۸۲) نسبت به MORB عادی‌سازی شده، ترسیم گردید و با سه نمونه از شوشوونیت‌های مهم دنیا (فلات تبت، ریفت ریوگراند و ایالت رومان) مورد مقایسه قرار گرفت. همان‌گونه که در شکل ۱۳ ملاحظه می‌شود الگوی کلی نمودار عنکبوتی ناحیه عروسان بسیار مشابه با فلات تبت است و آنومالی منفی Sr و Ti و Nb در نمودارهای مربوط به هر آنومالی مثبت Ce , Rb و Zr در منطقه مشاهده می‌شود.

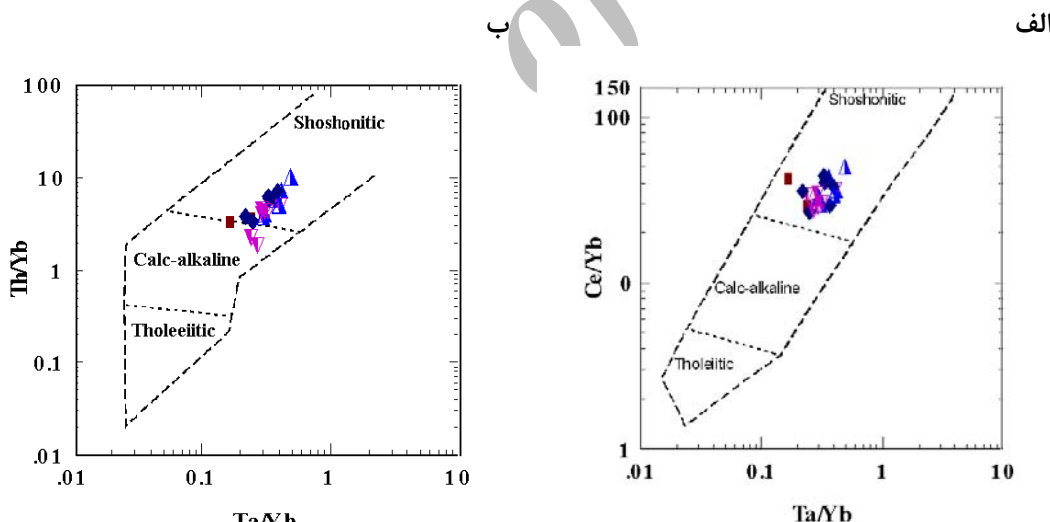
کانی منجر به افزایش نسبت La/Yb در مذاب می‌گردد. همچنین، الگوهای عنصر نادر خاکی فاقد آنومالی Eu است.

فقدان آنومالی Eu می‌تواند با بالا بودن فوگاسیته اکسیژن در سنگ‌های ناحیه مرتبط باشد. از سوی دیگر تبلور همزمان آمفیبول و پلازیوکلаз در سنگ‌های اسیدی و تبلور همزمان کلینوبیروکسن و پلازیوکلاز در سنگ‌های بازیک نیز می‌تواند سبب حذف آنومالی Eu شود، زیرا آمفیبول و کلینوبیروکسن دارای آنومالی منفی Eu و پلازیوکلاز واجد آنومالی مثبت Eu است، حضور کانی‌های مذکور در کنار یکدیگر منجر به تعديل آنومالی Eu خواهد شد (Martin, 1999).



شکل ۱۴- الگوهای عنصر نادر خاکی بهنجار شده بر اساس داده‌های (Nakamura, 1974). (علاوه مشابه شکل ۶ است).

شکل مقعر الگوهای مذکور به تفریق آمفیبول نسبت داده می‌شود (Alther *et al.*, 2000)، زیرا تفریق این



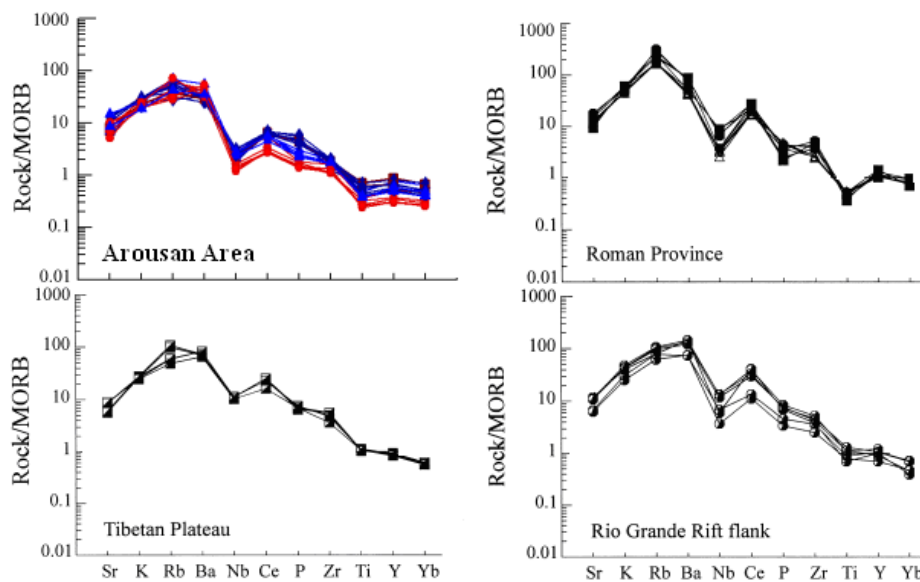
شکل ۱۲- نمودارهای تعیین سرنشت ماقمایی با استفاده از نسبت عناصر غیر متخرک. الف) نسبت Ce/Yb در برابر نسبت Ta/Yb (Muller *et al.*, 1992) در مقابل Th/Yb در مقابله Pearce, 1982). ب) نسبت Ce/Yb در مقابل Th/Yb در مقابله Pearce, 1982).

در محیط‌های کششی پشت قوس (Bonadiman *et al.*, 1994; Lange *et al.*, 1993) و نواحی پس از تصادم (Wenzel *et al.*, 1997) و نیز زون‌های ریفتی به وجود می‌آیند. تصور کلی بر این است که بخش عمده سنگ‌های پتابسیم‌دار از ذوب‌بخشی گوشته لیتوسфер

تعیین جایگاه تکتونیکی به طور کلی شوشوونیت‌ها در حاشیه ورقه‌های همگرا، در قوس‌های بالغ (Morrison, 1980) و نیز در قوس‌های ماقمایی که در مراحل آغازین فعالیت (Stern *et al.*, 1988) هستند، تشکیل می‌شوند. همچنین شوشوونیت‌ها

این امر به پایداری فلوگوپیت یا هورنبلند منجر می‌گردد
(Turner *et al.*, 1996)

قاره‌ای حاوی یک مجموعه کانی‌شناسی آب‌دار ایجاد شده‌اند. گوشه‌های مذکور توسط سیالات یا مذاب‌های مشتق از قطعه فرورانده در طی فرورانش تحول یافته و



مربوط به ناحیه مورد مطالعه و مقایسه آن با شوشونیت‌های (Pearce, 1982) MORB نسبت به ایالت رومان، ریفت ریوگراند و فلات تبت (Alici, 1998).

سیلیس بیش از ۶٪ (تراکی آندزیت‌ها و داسیت‌ها) اقدام شده است. بر این اساس نمونه‌ها در محدوده VAG که در واقع سنگ‌های مرتبط با قوس‌های ماگمایی مرتبط با فرورانش است، واقع شده‌اند (شکل ۱۶). به منظور آگاهی از ترکیب کانی‌شناسی سنگ منشا مدل‌سازی رقومی بر اساس داده‌های مربوط به E-MORB از Sun and McDonough (۱۹۸۹) و ضرایب توزیع La و Yb از Klein و همکاران (۱۹۹۷)، Van Westrenen و همکاران (۲۰۰۱) و Barth و همکاران (۲۰۰۲) انجام شده است. در این مدل‌سازی چهار مدل زیر در نظر گرفته شده است:

- ۱- اکلوزیت با ۲۰٪ آمفیبول، ۳۰٪ گارنت، ۵۰٪ کلینوپیروکسن،

جهت تعیین موقعیت تکتونوماگمایی گدازه‌های ناحیه از نمودارهای TiO_2 -Zr-Y (Le Maitre *et al.*, 1989) Al_2O_3 (Muller and Groves, 1997) همچنین برای تعیین جایگاه تکتونیکی سنگ‌های پتانسیک ناحیه از نمودارهای Pearce (۱۹۸۴) استفاده شده است. این نمودار معمولاً برای تفکیک محیط تکتونیکی گرانیت‌های به کار می‌رود اما می‌توان از آن برای تمایز محیط تکتونیکی سنگ‌های آتشفسانی اسیدی تا حد واسطه نیز استفاده کرد (Rolinsson, ۱۹۹۲). لذا در این قسمت با به کارگیری نمودارهای مذکور، به تعیین خاستگاه تکتونیکی نمونه‌های با

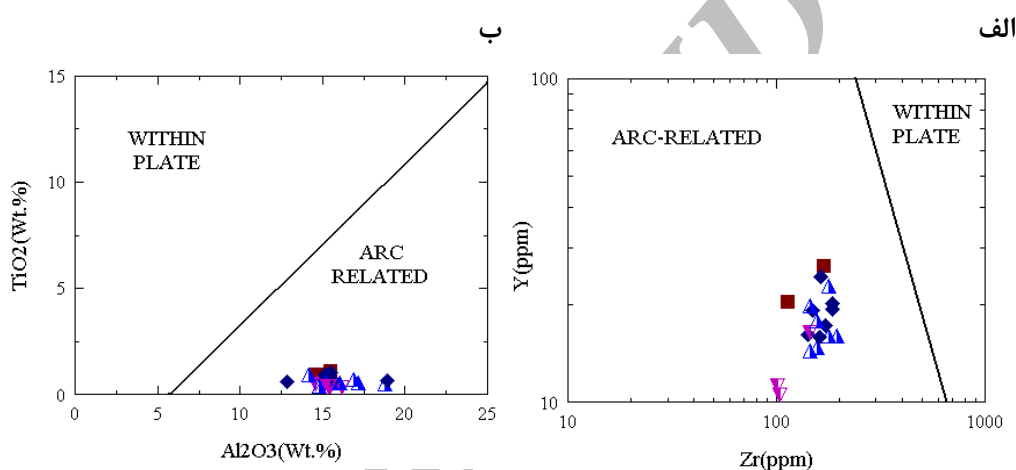
سوی دیگر نسبت Sr/Y بیش از ۴۰ و $(\text{La/Yb})_{\text{CN}}$ بین ۹-۱۶ (جدول ۱) تأیید دیگری بر ذوب‌بخشی سنگ منشأ آمفیبوليتي است که گارنت در آن جزو پس‌مانده ذوب بوده و بخش اعظم پلازیوکلاز سنگ وارد فاز مذاب (Drummond and Defant, 1990; Whalen *et al.*, 2006) شده است.

۲- آمفیبولييت گارنت‌دار واجد ۱۰٪ گارنت،

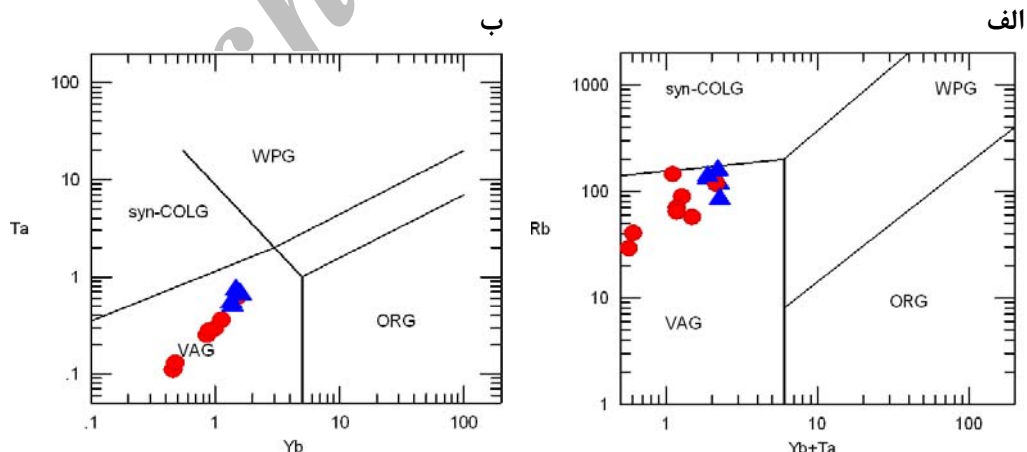
۳- آمفیبولييت گارنت‌دار با ۵٪ گارنت،

۴- آمفیبولييت فاقد گارنت.

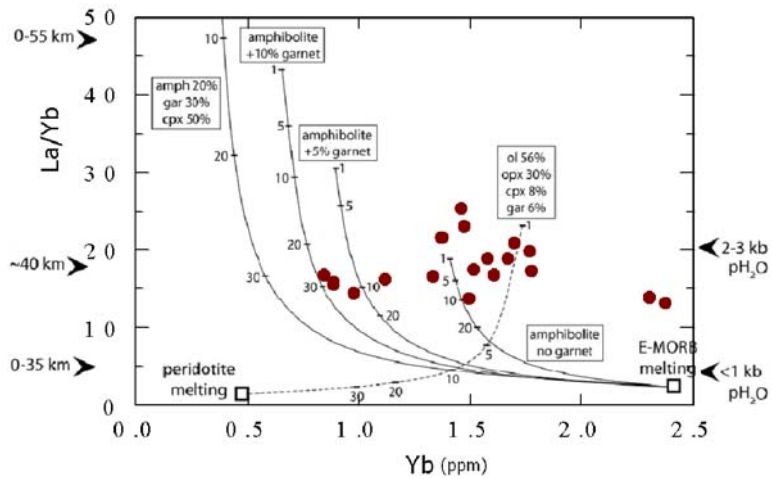
مدل‌سازی ژئوشيميايي ذوب دسته‌اي برای سنگ‌های ناحيه حاكى از نرخ پايين ذوب‌بخشی يك آمفیبولييت گارنت‌دار (صفر تا ده درصد گارنت) و تفاله ذوب فاقد پلازیوکلاز وحاوي گارنت است (شکل ۱۷). از



شکل ۱۵- (الف) نمودار Zr-Y (Muller and Groves, 1997) $\text{TiO}_2\text{-Al}_2\text{O}_3$ (Le Maitre *et al.*, 1989)، (ب) نشانگر محیط تکتونیکی وابسته به قوس هستند.



شکل ۱۶- نمودار تمایز محیط‌های تکتونیکی (Pearce, 1984). (الف) نمودار Rb در برابر $\text{Yb} + \text{Ta}$ (Syn-COLG) به ترتیب معرف گرانیت‌وئیدهای همزمان با تصادم، مرتبط با درون ورقه، پشت‌های اقیانوسی و مرتبط با قوس ماغمایی‌اند. عالم ● و ▲ به ترتیب داسیت و تراکی آندزیت هستند.



شکل ۱۷- مدل سازی رقومی بر اساس داده های (Sun and McDonough, E-MORB) مربوط به ضرایب انتشار La و Yb (Klein 1989) و همکاران (Van Westrenen, ۱۹۹۷)، Barth و همکاران (۲۰۰۲)، Barth و همکاران (۲۰۰۱) بر این اساس سنگ منشأ یک آمفیبولیت با صفر تا ده درصد گارن特 است.

ج) بالا بودن عدد منیزیم در بیوتیت؛

د) پایین بودن میزان TiO_2 در سنگ های ناحیه شواهد ژئوشیمیایی حاکی از آن است که سنگ های ماگمایی منطقه در یک قوس ماگمایی مرتبط با فرورانش که در حاشیه خرده قاره شرق ایران مرکزی تشکیل شده است، به وجود آمده اند (نمودارهای Y-Zr و $\text{TiO}_2\text{-Al}_2\text{O}_3$). در ضمن بالا بودن فوگاسیته اکسیژن در ماگمایی سازنده سنگ های ناحیه و نیز غنی بودن سنگ ها از LREE و تھی شدگی HFSE ویژگی های مهم ماگماهای شوшуونیتی و شاخص ماگماتیسم مرتبط با زون فرورانش است. الگوی متصرور برای سنگ منشأ می تواند یک آمفیبولیت گارنت دار (صفر تا ده درصد گارنٹ) باشد.

منابع

احمدیان، ج. (۱۳۸۹) پترولوزی و ژئوشیمی تووده نفوذی کال کافی (شرق انارک) با نگرشی بر دگرسانی و کانی سازی مس (مولیبدن - طلا) مرتبط با آن. پایان نامه دکتری پترولوزی (در دست تدوین)، دانشگاه تربیت مدرس، ایران.

بهادران، ن. (۱۳۸۶) پترولوزی و ژئوشیمی سنگ های ولکانیک منطقه غرب عروسان کبودان (جنوب چوبانان-

نتایج

ترکیب سنگ های آتشفسانی منطقه عروسان کبودان طیفی از سنگ های بازیک- حد وسط تا اسیدی را در بر می گیرد و شامل سنگ های پتانسیم تراکی بازالت و شونیت، تراکی آندزیت، و داسیت است.

این سنگ ها غنی از عناصر آلکالن بوده و میانگین $\text{K}_2\text{O}+\text{Na}_2\text{O}$ در آنها ۷/۵۹ است. روندهای خطی مشاهده شده در نمودارهای هارکر عناصر اصلی، بیانگر نقش مهم تبلور بخشی در شکل گیری گدازه های منطقه است.

روندهای نزولی در نمودار Zr/Rb در برابر Rb و همچنین غنی شدگی مشخص سرب در نمودار عنکبوتی مبین آن است که علاوه بر تبلور بخشی فرآیند آغشتگی پوسته ای نیز در تکوین سنگ های منطقه مؤثر بوده است.

ضمیناً برخی شواهد بافتی مؤید فرایند اختلاط ماگمایی در ناحیه است. ماهیت شوшуونیتی سنگ های منطقه به واسطه شواهد زیر قابل اثبات است:

- الف) محتوای بالای K_2O و بالابودن نسبت های Ta/Yb و Th/Yb در سنگ های منطقه؛
- ب) ترکیب کلینوپیروکسن های موجود در سنگ های منطقه، سالیت - اوژیت است؛

- plagioclase phenocrysts and their bearing on the origin of mixed andesitic lavas at Toliman Volcano. *Guatemala Bulletin of Volcanology* 51: 271-280.
- Helmy, H. M., Ahmed, A. F., El Mahallawi, M. M. and Ali, S. M. (2004) Pressure, temperature and oxygen fugacity conditions of calc-alkaline granitoids, Eastern Desert of Egypt, and tectonic implications. *Journal of African Earth Science* 38: 255-268.
- Ionov, D. A. and Hoffmann A. W. (1995) Nb-Ta-rich mantle amphiboles and micas; implication for subduction-related metasomatic trace element fractionations. *Earth and Planetary Science Letters* 131: 341-356
- Jiang, Y. H., Jiang, S. Y., Ling, H. F., Zhou, X. R., Rui X. J. and Yang W. Z. (2002) Petrology and geochemistry of shoshonitic plutons from the western Kunlun orogenic belt, Xinjiang northwestern China: implications for granitoid genuses. *Lithos* 63: 165-187.
- Klein, M., Stosch H. G. and Seck H. A. (1997) Partitioning of high field-strenght and rare-earth element bet amphibole and quartz-dioritic melts:an experimental study. *Chemical Geology* 138:257-271.
- Leake, B. E., Wolley, A. R., Arps, C. E. S., Birch, W. D., Gilbert, M. C., Grice, J. D., Hawthorne, F. C., Kato, A., Kisch, H. J., Krivovichev, V. G., Linthout, K., Laird, J., Mandarino, J., Maresch, W. V., Nickel, E. H., Rock, N. M. S., Schumacher, J. C., Smith, D. C., Stephenson, N. C. N., Ungaretti, L., whittaker, E. J. W. and Youzhi, G. (1997) Nomenclature of amphiboles, report of the subcommittee on amphiboles of the international mineralogical association commission on new minerals and mineral names. *European Journal of Mineralogy* 9: 623-651.
- LeBas M. J., LeMaitre, R. W., Streckeisen A. and Zanettin B. (1986) A chemical classification of volcanic rocks based on the total alkali silica diagram. *Journal of Petrology* 27:745-750.
- Le Maitre R. W. (1989) A Classification of Igneous Rocks and Glossary of Terms (IUGS): Recommendations of the IUGS
- شمال شرق اصفهان). پایان‌نامه کارشناسی ارشد پetroلوزی، گروه زمین‌شناسی دانشگاه اصفهان، ایران.
- شلی، د. (۱۹۹۳) بررسی میکروسکوپی سنگ‌های آذرین و دگرگونی. ترجمه آسیابانه‌ای رضایی، ع. انتشارات دانشگاه بین‌المللی امام خمینی، تهران.
- Alavi, M. (1991) Sedimentary and structural characteristics of the paleo – Tethys remnants in northeastern Iran. *Geological Society of America Bulletin* 103: 983 – 992.
- Alici, P., Temel, A., Gourgaud, A., Kieffer G. and Gundogdu, M. N. (1998) Petrology and geochemistry of potassic rocks in the Golcuk area (Isparta, SW Turkey): genesis of enriched alkaline magmas. *JVG* 85:423-446.
- Atherton N. P. and Sanderson, L. M. (1985) Magmatism at a Plate Edge: The Peruvian Ands. Blackie, Glasgow.
- Barth, M. G., Foley, S. F. and Horn, I. (2002) Partial melting in Archean subduction zones: constraints from experimentally determined trace elements partition coefficients between ecologicitic material and tonalitic melts under upper mantle conditions. *Precambrian Research* 113: 323-340.
- Defant, M. J. and Drummond, M. S. (1990) Derivation of some modern arc magmas by melting of young subducted lithosphere. *Nature* 347: 662-665.
- De Paolo, D. J. (1981) Trace element and isotopic effects of combined wallrock assimilation and fractional crystallization:. *Earth and Planetary Science Letters* 53: 189-202.
- Foley, S. F. and Wheller, G. E. (1990) Parallels in the origin of the geochemical signature of island arc volcanic rocks and continental potassic igneous rocks: The role of titanites. *Chemical Geology* 85: 1-18.
- Fowler, M. B. (1988) Achuan hybrid appinite pipes: evidence for mantle derived stoichiometric parent magmas in Caledonian granite genesis. *Geology* 16: 1026-1030.
- V/O "Technoexport" (1984) Geological maps of Khur (1/250,000), Kabudan (1/100,000). Geological Survey of Iran.
- Halsor, S. P. (1989) Large glass inclusions in

- calc-alkaline andesite volcano, Japanese Journal of Volcano Geotherms 5:179-208.
- Saunders, A. D., Tarnay, J. and Weaver, S. D. (1980) Transverse geochemical variations across the Antarctic peninsula: implications for the genesis of calc-alkaline magmas. Earth and Planetary Science Letters 6: 344-360.
- Sun, S. S. and McDonough, W. F. (1989) Chemical and isotopic systematics of oceanic basalts: implications for mantle composition and processes. In: Saunders, A D. and Norry, M. J. (Eds.): Magmatism in Ocean Basins. Geological Society Special Publication London.
- Tankut, A., Wilson, M. and Yihunie, T. (1998) Geochemistry and tectonic setting of Tertiary volcanism in the Guvem area, Anatolia, Turkey. Japanese Journal of Volcano Geotherms 85: 285-301.
- Van Westrenen, W., Blundy, J. D. and Wood, B. J. (2001) High field strength element/rare earth element fractionation during partial melting in the presence of garnet: Implications for identification of mantle heterogeneities. G3: 2 DOI: 2000GC000133.
- Whalen, J. B., McNicoll, V. J., Van Staal, C. R., Lissenberg, C. J., Longstaffe, F. J., Jenner, G. and Breeman, O. V. (2006) Spatial, temporal and geochemical characteristics of Silurian collision-zone magmatism, Newfoundland Appalachians: An example of a rapidly evolving magmatic system related to slab break off. Lithos 89: 377-404.
- Wilson, M. (1989) Igneous Petrogenesis. Unwin Hyman.
- Wones, D. R. and Eugster, H. P. (1965) Stability of biotite: experiment, theory, and application. American Mineralogist 50: 1228-1272.
- Yakovenko, V., Chinakov, I., Kokorin, Y. and Krivyakin, B. (1981) Report on detailed geological prospecting in Anarak Area (Kal-e Kafi-Khoni Locality), V/O "Technoexport" Moscow Report No.13.
- Subcommission on the Systematics of igneous Rocks. Blackwell, Oxford.
- Morimoto, N., Fabrise, J., Ferguson, A., Ginzburg, I. V., Ross, M., Seifert, F. A., Zussman, J. Akoi, K. and Gottardi, G. (1988) Nomenclature of pyroxenes. Mineralogical Magazine 52: 535-55.
- Martin, H. (1999) Adakitic magmas: modern analogues of Archaean granitoids. Lithos 46: 411-429.
- Morrison, G. W. (1980) Characteristics and tectonic setting of the shoshonite rock association. Lithos 13: 97-108.
- Muller, D., Rock, N. M. S. and Groves, D. I. (1992) Geochemical discrimination between shoshonitic and potassic volcanic rocks from different tectonic settings: a pilot study. Mineralogy and Petrology 46: 259-289.
- Muller, D. and Groves, D. I. (1997) Potassic Igneous rocks and associated gold-copper mineralization. Earth sciences 56: 238.
- Muller, D. and Forrestal, P. (1998) The Shoshonite porphyry Cu-Au association at Bajo de la Alumbra Catamarca Province. Argentina. Mineralogy and Petrology 64: 47-64.
- Nakamura, N. (1974) Determination of REE, Ba, Mg, Na and K in carbonaceous and ordinary chondrites. Geochimical Cosmichimica Acta 38: 757-775.
- Pearce J. A. (1982) Trace element characteristics of lavas from destructive plate margins. In: Andesites: Orogenic andesites and related rocks. Thorpe R. S. (Eds): Wiley 525-548.
- Peccerillo, A., Taylor, S. R. (1976) Geochemistry of Eocene calc-alkaline volcanic rocks from the Kastamonu area, Northern Turkey. Contributions to Mineralogy and Petrology 58: 63-81.
- Pe-Piper, G. (1984) Zoned Pyroxenes from Shoshonite Lavas of Lesbos, Greece: Inferences concerning Shoshonite Petrogenesis. Journal of Petrology 25: 453-472.
- Sakuyama, M. (1978) Evidence of magma mixing: petrological study of Shiroumaioke